Научная статья УДК 546.87+547.53.024+547.56 DOI: 10.14529/chem250111

# СТРОЕНИЕ ДИКАРБОКСИЛАТОВ ТРИ( $\Pi APA$ -ТОЛИЛ)ВИСМУТА p-Tol<sub>3</sub>Bi[OC(O)CH<sub>2</sub>Cl]<sub>2</sub> и p-Tol<sub>3</sub>Bi[OC(O)C<sub>6</sub>H<sub>3</sub>F<sub>2</sub>-2,5]<sub>2</sub> · TolH

## В.В. Шарутин<sup>™</sup>, В.С. Сенчурин

Южно-Уральский государственный университет, г. Челябинск, Россия В sharutin50@mail.ru

> Аннотация. Взаимодействием три(пара-толил)висмута с хлоруксусной дифторбензойной кислотами в эфире в присутствии трет-бутилгидропероксида синтезированы и структурно охарактеризованы дикарбоксилаты три(пара-толил)висмута, которые после перекристаллизации из толуола выделены в виде p-Tol<sub>3</sub>Bi[OC(O)CH<sub>2</sub>Cl]<sub>2</sub> (1) и сольвата p- $Tol_3Bi[OC(O)C_6H_3F_2-2,5]_2$  · TolH (2). Кристаллографические характеристики 1  $[C_{25}H_{25}O_4Cl_2Bi]$ M = 669,33; триклинная сингония, пр. гр. P-1; параметры ячейки: a = 10,370(6) Å, b = 11,731(4) Å, c=12,746(6) Å;  $\alpha=106,77(2)^\circ,$   $\beta=103,90(2)^\circ,$   $\gamma=108,764(18)^\circ,$  V=1307,5(10) ų, Z=2;  $\rho_{\text{выч}}=1,700\,\text{ г/см}^3;$   $\mu=6,973\,\text{ мм}^{-1};$  F(000)=648,0; обл. сбора по  $2\theta$ :  $6,34-71,62^\circ;$   $-17\leq h\leq 17,$  $-19 \le k \le 19, -20 \le l \le 20$ ; всего отражений 83762; независимых отражений 12095 ( $R_{\text{int}} = 0,0546$ ); GOOF = 1,035; R-фактор = 0,0353], **2** [C<sub>42</sub>H<sub>35</sub>BiF<sub>4</sub>O<sub>4</sub>, M = 888,68; триклинная сингония, пр. гр. P-1; параметры ячейки: a = 9.403(4) Å, b = 11.009(6) Å, c = 18.757(8) Å;  $\alpha = 78.80(2)^{\circ}$ ,  $\beta = 88.918(17)^{\circ}$ ,  $\gamma = 66,61(2)^{\circ}$ , V = 1744,5(15) Å<sup>3</sup>, Z = 2;  $\rho_{\text{выч}} = 1,692$  г/см<sup>3</sup>;  $\mu = 5,118$  мм<sup>-1</sup>; F(000) = 876,0; обл. сбора по 20: 6,22–54,362°;  $-12 \le h \le 12$ ,  $-14 \le k \le 14$ ,  $-24 \le l \le 24$ ; всего отражений 40062; независимых отражений 7698 ( $R_{\text{int}} = 0.0337$ ); GOOF = 1.054; R-фактор = 0.0268]. Из данных PCA следует, что атомы висмута в 1 и 2 имеют искаженную тригонально-бипирамидальную координацию с атомами кислорода карбоксигрупп в аксиальных положениях (OBiO 170,91(6)° и 170,49(15)° соответственно; Bi-O 2,2875(19) Å, 2,292(2) Å для 1 и 2,262(3) Å, 2,317(3) Å для 2) и экваториальными толильными лигандами (Bi-C 2,188(3)-2,210(2) Å для 1 и 2,198(4)-2,219(4) Å для 2). Присутствие координационной связи центрального атома металла с карбонильным атомом кислорода [Bi···O=C 2,991(3) Å, 2,997(3) Å в 1 и 2,879(3) Å, 2,922(3) Å в 2] позволяет говорить об увеличении координационного числа атома висмута до 7. В структурах 1 и 2 максимальный экваториальный угол со стороны контакта Bi···O=C (139,21(9)° и 142,18(15)°) значительно больше двух других экваториальных углов. Полные таблицы координат атомов, длин связей и валентных углов соединений 1 и 2 депонированы в Кембриджском банке структурных данных (ССDС 1913595 и 2051942; deposit@ccdc.cam.ac.uk; http://www.ccdc.cam.ac.uk).

**Ключевые слова**: дикарбоксилат три(*пара*-толил)висмута, особенности строения

**Для цитирования:** Шарутин В.В., Сенчурин В.С. Строение дикарбоксилатов три(napa-толил)висмута p-Tol<sub>3</sub>Bi[OC(O)CH<sub>2</sub>Cl]<sub>2</sub> и p-Tol<sub>3</sub>Bi[OC(O)C<sub>6</sub>H<sub>3</sub>F<sub>2</sub>-2,5]<sub>2</sub> · TolH // Вестник ЮУрГУ. Серия «Химия». 2025. Т. 17, № 1. С. 126–132. DOI: 10.14529/chem250111

Original article

DOI: 10.14529/chem250111

# STRUCTURE OF TRI(PARA-TOLYL)BISMUTH DICARBOXYLATES p-Tol<sub>3</sub>Bi[OC(O)CH<sub>2</sub>Cl]<sub>2</sub> AND p-Tol<sub>3</sub>Bi[OC(O)C<sub>6</sub>H<sub>3</sub>F<sub>2</sub>-2,5]<sub>2</sub> · TolH

V.V. Sharutin<sup>™</sup>, V.S. Senchurin South Ural State University, Chelyabinsk, Russia <sup>™</sup> sharutin50@mail.ru

**Abstract.** By reacting tri(para-tolyl) bismuth with chloroacetic and 2,5-difluorobenzoic acids in ether in the presence of *tert*-butyl hydroperoxide, tri(para-tolyl) bismuth dicarboxylates were synthesized. After recrystallization from toluene, they were isolated as p-Tol<sub>3</sub>Bi[OC(O)CH<sub>2</sub>Cl]<sub>2</sub> (1) and sol-

© Шарутин В.В., Сенчурин В.С., 2025.

vate p-Tol<sub>3</sub>Bi[OC(O)C<sub>6</sub>H<sub>3</sub>F<sub>2</sub>-2,5]<sub>2</sub> · TolH (2), the structure of which was proven by X-ray diffraction analysis (XRD). Crystallographic characteristics of 1  $[C_{25}H_{25}O_4Cl_2Bi, M = 669,33;$  triclinic syngony, space group P-1; cell parameters: a = 10,370(6) Å, b = 11,731(4) Å, c = 12,746(6) Å;  $\alpha = 106,77(2)^{\circ}$ ,  $\beta = 103,90(2)^{\circ}, \ \gamma = 108,764(18)^{\circ}, \ V = 1307,5(10) \text{ Å}^3, \ Z = 2; \ \rho_{\text{calc}} = 1,700 \text{ g/cm}^3; \ \mu = 6,973 \text{ mm}^{-1};$ F(000) = 648.0; region collection at 20: 6,34–71,62°;  $-17 \le h \le 17$ ,  $-19 \le k \le 19$ ,  $-20 \le l \le 20$ ; total reflections 83762; independent reflections 12095 ( $R_{int} = 0.0546$ ); GOOF = 1.035; R-factor = 0.0353], 2 [ $C_{42}H_{35}BiF_4O_4$ , M = 888,68; triclinic syngony, space group P-1; cell parameters: a = 9,403(4) Å,  $b = 11,009(6) \text{ Å}, c = 18,757(8) \text{ Å}; \alpha = 78,80(2)^{\circ}, \beta = 88,918(17)^{\circ}, \gamma = 66,61(2)^{\circ}, V = 1744,5(15) \text{ Å}^3,$ Z=2;  $\rho_{calc}=1,692$  g/cm<sup>3</sup>;  $\mu=5,118$  mm<sup>-1</sup>; F(000)=876,0; collection area by 20: 6,22–54,362°;  $-12 \le h \le 12$ ,  $-14 \le k \le 14$ ,  $-24 \le l \le 24$ ; total reflections 40062; independent reflections 7698  $(R_{\text{int}} = 0.0337)$ ; GOOF = 1.054; [R-factor = 0.0268]. From the X-ray diffraction data it follows that the bismuth atoms in 1 and 2 have a distorted trigonal-bipyramidal coordination with the oxygen atoms of the carboxyl groups in the axial positions (OBiO 170,91(6)° and 170,49(15)°, respectively; Bi-O 2,2875(19) Å, 2,292(2) Å for 1 and 2,262(3) Å, 2,317(3) Å for 2) and equatorial tolyl ligands (Bi-C 2,188(3)-2,210(2) Å for 1 and 2,198(4)-2,219(4) Å for 2). The presence of a coordination bond between the central metal atom and the carbonyl oxygen atom [Bi···O=C 2,991(3) Å, 2,997(3) Å in 1 and 2,879(3) Å, 2,922(3) Å in 2] allows us to speak about an increase in the coordination number of the bismuth atom to 7. In structures 1 and 2, the maximum equatorial angle on the side of the Bi···O=C contact (139,21(9)° and 142,18(15)°) is significantly larger than the other two equatorial angles. Complete tables of atomic coordinates, bond lengths and bond angles for compounds 1 and 2 have been deposited with the Cambridge Crystallographic Data Centre (CCDC 1913595 and 2051942; deposit@ccdc.cam.ac.uk; http://www.ccdc.cam.ac.uk).

**Keywords**: tri(para-tolyl)bismuth dicarboxylate, structural features

**For citation:** Sharutin V.V., Senchurin V.S. Structure of tri(para-tolyl)bismuth dicarboxylates p-Tol<sub>3</sub>Bi[OC(O)CH<sub>2</sub>Cl]<sub>2</sub> and p-Tol<sub>3</sub>Bi[OC(O)C<sub>6</sub>H<sub>3</sub>F<sub>2</sub>-2,5]<sub>2</sub> · TolH. Bulletin of the South Ural State University. Ser. Chem. 2025;17(1):126–132. (In Russ.) DOI: 10.14529/chem250111

### Введение

Дикарбоксилаты триарилвисмута  $Ar_3Bi[OC(O)R]_2$  являются биологически активными соединениями, оказывающими антилейшманиозное действие [1–4] и обладающими фотохимической активностью [5], поэтому синтез и исследование свойств дикарбоксилатов триарилвисмута является актуальной задачей. Синтез указанных производных, как правило, осуществляют по реакции окислительного присоединения триарилвисмута с карбоновыми кислотами в присутствии пероксида [6–24], причем выход дикарбоксилатов триарилвисмута, получаемых по этой схеме, достигал 95 %.

$$Ar_3Bi + 2RC(O)OH + H_2O_2 \rightarrow Ar_3Bi[OC(O)R]_2 + 2H_2O$$

Понижение электроотрицательности карбоксилатного заместителя путем введения в его состав электронодонорных групп не изменяло направления реакции окислительного присоединения.

В настоящей работе по реакции окислительного присоединения из три(napa-толил) висмута, хлоруксусной и 2,5-дифторбензойной кислоты в присутствии mpem-бутилгидропероксида в эфире получены дикарбоксилаты три(napa-толил)висмута, которые после перекристаллизации из толуола выделены в виде p-Tol<sub>3</sub>Bi[OC(O)CH<sub>2</sub>Cl]<sub>2</sub> (1) и сольвата p-Tol<sub>3</sub>Bi[OC(O)C<sub>6</sub>H<sub>3</sub>F<sub>2</sub>-2,5]<sub>2</sub> · TolH (2).

#### Экспериментальная часть

Исходный реагент – три(*пара*-толил)висмут – получали по известной методике [25]. В работе также использовали хлоруксусную и 2,5-дифторбензойную кислоты (Alfa Aesar). В качестве растворителя использовали эфир и толуол квалификации «х. ч.». Синтез дикарбоксилатов три(*пара*толил)висмута осуществляли путем прибавления к смеси порошкообразного три(*пара*толил)висмута и карбоновой кислоты в эфире 70%-ного водного раствора *трет*бутилгидропероксида (мольное соотношение 1:2:1 соответственно). После упаривания эфира твердый остаток перекристаллизовывали из толуола. Получали бесцветные кристаллы, структура которых установлена методом рентгеноструктурного анализа (PCA).

*Бис*(хлорацетат) три(*пара*-толил)висмута *p*-Tol<sub>3</sub>Bi[OC(O)CH<sub>2</sub>Cl]<sub>2</sub> (1). Бесцветные кристаллы,  $t_{пл} = 172$  °C, выход 83 %. ИК-спектр (v, см<sup>-1</sup>): 3045, 3032, 2957, 2920, 2866, 1647, 1611, 1485, 1393, 1373, 1341, 1254, 1229, 1207, 1196, 1184, 1055, 999, 935, 793, 691, 675, 577, 474. Найдено, %: C 44,78; H 3,79.  $C_{25}H_{25}O_4Cl_2Bi$ . Вычислено, %: C 44,82; H 3,74.

Сольват  $\delta uc$ (2,5-дфторбензоата) три(napa-толил)висмута p-Tol<sub>3</sub>Bi[OC(O)C<sub>6</sub>H<sub>3</sub>F<sub>2</sub>-2,5]<sub>2</sub> · TolH (2). Бесцветные кристаллы,  $t_{пл}$  = 145 °C, выход 65 %. ИК-спектр (v, см<sup>-1</sup>): 3088, 3057, 2922, 2868, 1718, 1626, 1616, 1578, 1481, 1389, 1356, 1271, 1227, 1206, 1186, 1153, 1067, 999, 957, 835, 795, 785, 758, 627, 476, 440. Найдено, %: C 56,68; H 3,96.  $C_{42}H_{35}O_4F_4Bi$ . Вычислено, %: C 56,71; H 3,94.

**PCA** кристаллов **1** и **2** проведен на дифрактометре D8 Quest фирмы Bruker (Мо $K\alpha$ -излучение,  $\lambda = 0,71073$  Å, графитовый монохроматор) при 296(2) К. Сбор, редактирование данных и уточнение параметров элементарной ячейки, а также учет поглощения проведены по программам SMART и SAINT-*Plus* [26]. Все расчеты по определению и уточнению структуры выполнены по программам SHELXL/PC [27] и OLEX2 [28].

Структуры определены прямым методом и уточнены методом наименьших квадратов в анизотропном приближении для неводородных атомов. Кристаллографические данные и результаты уточнения структур приведены в табл. 1, геометрические характеристики координационного полиэдра атома сурьмы — в табл. 2. Полные таблицы координат атомов, длин связей и валентных углов депонированы в Кембриджском банке структурных данных (ССDС 1913595 и 2051942; deposit@ccdc.cam.ac.uk; http://www.ccdc.cam.ac.uk).

Таблица 1 Кристаллографические данные, параметры эксперимента и уточнения структур 1 и 2

Параметр	1	2
Формула	$C_{25}H_{25}O_4Cl_2Bi$	$C_{42}H_{35}F_4O_4Bi$
M	669,33	888,68
Сингония	Триклинная	Триклинная
Пр. группа	<i>P</i> –1	P-1
a, Å	10,370(6)	9,403(4)
b, Å	11,731(4)	11,009(6)
c, Å	12,746(6)	18,757(8)
α, град.	106,77(2)	78,80(2)
β, град.	103,90(2)	88,918(17)
γ, град.	108,764(18)	66,61(2)
$\gamma$ , град. $V$ , Å $^3$	1307,5(10)	1744,5(15)
Z	2	2
$\rho_{\text{выч}}$ , г/см <sup>3</sup>	1,700	1,692
μ, мм <sup>-1</sup>	6,973	5,118
F(000)	648,0	876,0
Размер кристалла, мм	$0,2 \times 0,12 \times 0,07$	$0,21 \times 0,21 \times 0,12$
Область сбора данных по 20, град.	6,34-71,62	6,22-54,362
Margan no acceptance of the constraint of	$-17 \le h \le 16, -19 \le k \le 19,$	$-12 \le h \le 12, -14 \le k \le 14,$
Интервалы индексов отражений	$-20 \le l \le 20$	$-24 \le l \le 24$
Измерено отражений	83762	40062
Независимых отражений	12095	7698
$R_{int}$	0,0546	0,0337
Переменных уточнения	292	526
GOOF	1,035	1,054
$R$ -факторы по $F^2 > 2\sigma(F^2)$	$R_1 = 0.0353,$	$R_1 = 0.0268,$
	$wR_2 = 0.0550$	$wR_2 = 0.0679$
Остаточная электронная плотность (min/max), e/A <sup>3</sup>	0,70/-1,12	1,07/–1,17

Таблица 2

Длины связей и валентные углы в структурах 1 и 2

Связь $d$ , Å		$ У$ гол $\omega$ , град		
		1		
Bi(1)-O(1)	2,2875(19)	O(1)Bi(1)O(3)	170,91(6)	
Bi(1)-O(3)	2,293(2)	C(11)Bi(1)C(1)	108,66(9)	
Bi(1)–C(1)	2,210(2)	C(11)Bi(1)C(21)	139,31(9)	
Bi(1)–C(11)	2,188(3)	C(21)Bi(1)C(1)	112,12(9)	
Bi(1)-C(21)	2,201(3)	C(8)O(1)Bi(1)	109,93(16)	
Bi(1)···O(2)	2,991(4)	C(18)O(3)Bi(1)	110,21(17)	
Bi(1)···O(4)	2,997(4)	C(11)Bi(1)O(1)	91,69(9)	
2				
Bi(1)-O(1)	2,317(3)	O(1)Bi(1)O(3)	170,50(10)	
Bi(1)-O(3)	2,262(3)	C(1)Bi(1)C(21)	110,57(15)	
Bi(1)–C(21)	2,219(4)	C(11)Bi(1)C(21)	107,22(15)	
Bi(1)–C(1)	2,203(4)	C(11)Bi(1)C(1)	142,18(15)	
Bi(1)–C(11)	2,198(4)	C(37)O(1)Bi(1)	107,4(2)	
Bi(1)···O(2)	2,879(14)	C(47)O(3)Bi(1)	109,6(2)	
Bi(1)···O(4)	2,922(15)	O(4)C(47)O(3)	122,7(3)	

### Обсуждение результатов

Получение соединений висмута общей формулы  $Ar_3BiX_2$  по реакции замещения описано во многих работах. В частности, широко применяется замещение атомов хлора или брома в дигалогенидах триарилвисмута на другую анионную группу Y [25, 29–32]. В 1988 году был предложен эффективный одностадийный метод синтеза диацилатов триарилвисмута, в основе которого лежит реакция окисления триарилвисмута различными пероксидами в присутствии карбоновых кислот [33]. В продолжение развития этого метода нами были проведены реакции три(napa-толил)висмута с хлоруксусной и 2,5-дифторбензойной кислотами в присутствии mpem-бутилгидропероксида в эфире (мольное соотношение 1:2:1). Показано, что схема реакции окислительного присоединения в этом случае не изменяется и конечным продуктом реакции является целевой дикарбоксилат три(napa-толил)висмута:

$$(4-MeC_6H_4)_3Bi + 2 RC(O)OH + t-BuOOH \rightarrow (4-MeC_6H_4)_3Bi[OC(O)R]_2 + t-BuOH + H_2O$$
  
 $R = CH_2Cl(1), C_6H_3F_2-2,5(2)$ 

В ИК-спектрах соединений **1** и **2** полосы поглощения при 474 и 476 см $^{-1}$ , относятся к валентным колебаниям связей Ві–С. Колебания v(C=O) в карбонильных группах характеризуются частотами 1647 и 1626 см $^{-1}$ .

Строение образующихся дикарбоксилатов три(napa-толил)висмута, которые после перекристаллизации из толуола выделены в виде p-Tol<sub>3</sub>Bi[OC(O)CH<sub>2</sub>Cl]<sub>2</sub> (1) и сольвата p-Tol<sub>3</sub>Bi[OC(O)C<sub>6</sub>H<sub>3</sub>F<sub>2</sub>-2,5]<sub>2</sub> · TolH (2), доказано методом PCA.

Из данных РСА следует, что атомы висмута в **1** и **2** имеют искаженную тригонально-бипирамидальную координацию с карбоксильными атомами кислорода карбоксигрупп в аксиальных положениях [OBiO 170,91(6)° и 170,49(15)° соответственно (рис. 1, 2); Ві—О 2,2875(19) Å, 2,292(2) Å для **1** и 2,262(3) Å, 2,317(3) Å для **2**] и экваториальными толильными лигандами (Ві—С 2,188(3)—2,210(2) Å для **1** и 2,198(4)—2,219(4) Å для **2**]. В **1** и **2** наблюдается типичная для дикарбоксилатов трифенилвисмута *цис*-ориентация карбоксилатных лигандов относительно фрагмента  $Ar_3Bi$ . Координационная связь центрального атома металла с карбонильным атомом кислорода [Bi····O=C 2,991(3), 2,997(3) Å в **1** и 2,879(3), 2,922(3) Å в **2**] меньше суммы ван-дерваальсовых радиусов атомов висмута и кислорода (3,59 Å) [34], что позволяет говорить об увеличении координационного числа атома висмута до 7. В структурах **1** и **2** максимальный экваториальный угол со стороны контакта Bi····O=C (139,21(9)° и 142,18(15)°) больше двух других экваториальных углов (112,12(9), 108,66(9) (**1**) и 107,22(15), 110,57(15) (**2**)).

Структурная организация в кристаллах 1 и 2 обусловлена слабыми водородными связями типа  $0\cdots H$  2,63–2,71 Å (1) и  $F\cdots H$  2,53–2,63 Å (2).

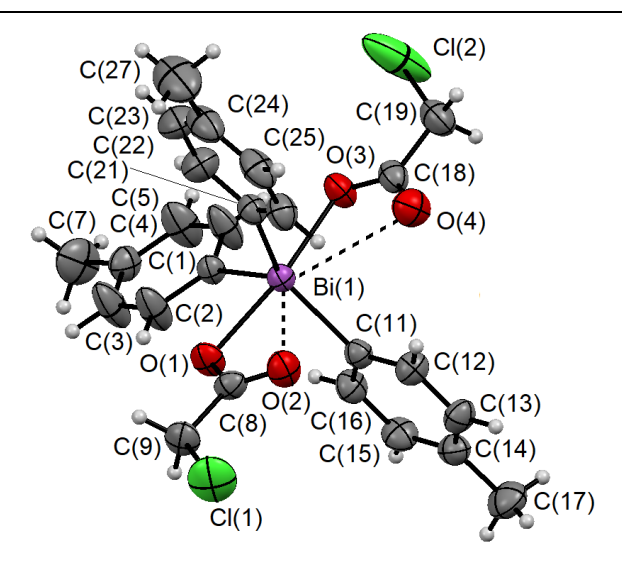


Рис. 1. Строение бис(хлорацетата) три(пара-толил)висмута (1)

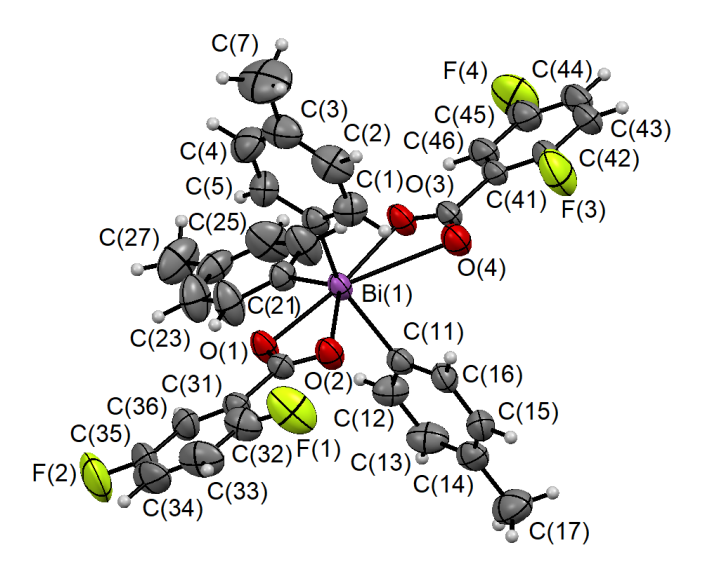


Рис. 2. Строение сольвата *бис*(2,5-дифторбензоата) три(*пара*-толил)висмута с толуолом (2). Молекула сольватного толуола не показана

#### Заключение

Взаимодействием три(napa-толил)висмута с хлоруксусной и 2,5-дифторбензойной кислотами в эфире в присутствии mpem-бутилгидропероксида синтезированы дикарбоксилаты три(napa-толил)висмута, которые после перекристаллизации из толуола выделены в виде p-Tol $_3$ Bi[OC(O)CH $_2$ Cl] $_2$  (1) и сольвата p-Tol $_3$ Bi[OC(O)C $_6$ H $_3$ F $_2$ -2,5] $_2$  · TolH (2). По данным PCA атомы висмута в 1 и 2 имеют искаженную тригонально-бипирамидальную координацию с атомами кислорода карбоксигрупп в аксиальных положениях и экваториальными толильными лигандами с максимальными экваториальными углами со стороны контакта Bi-O=C (139,21(9)° и 142,18(15)°). Присутствие координационной связи центрального атома металла с карбонильным атомом кислорода [Bi-O=C 2,991(3), 2,997(3) Å в 1 и 2,879(3), 2,922(3) Å в 2] свидетельствует об увеличении координационного числа атома висмута до 7.

#### Список источников

- 1. *Duffin R.N.*, *Blair V.L.*, *Kedzierski L. et al.* // Dalton Trans. 2018. V. 47. P. 971. DOI: 10.1039/C7DT04171C.
- 2. *Duffin R.N.*, *Blair V.L.*, *Kedzierski L. et al.* // J. Inorg. Biochem. 2018. V. 189. P. 151. DOI: 10.1016/j.jinorgbio.2018.08.015.

- 3. *Ong Y.C.*, *Blair V.L.*, *Kedzierski L. et al.* // Dalton Trans. 2014. V. 43. P. 12904. DOI: 10.1039/C4DT00957F.
- 4. *Ong Y.C.*, *Blair V.L.*, *Kedzierski L. et al.* // Dalton Trans. 2015. V. 44. P. 18215. DOI: 10.1039/C5DT03335G.
- 5. Zhang X.-Y., Wu R.-X., Bi C.-F. et al. // Inorg. Chim. Acta. 2018. V. 483. P. 129. DOI: 10.1016/j.ica.2018.07.027.
- 6. Додонов В.А., Гущин А.В., Брилкина Т.Г. // Журн. общ. химии. 1985. Т. 55, № 1. С. 73. EDN: OIINWJ
- 7. *Ефремов А.Н., Шарутин В.В., Шарутина О.К.* // Журн. структ. химии. 2021. Т. 62, № 12. С. 2084. EDN: PKEHSW
- 8. *Шарутин В.В., Шарутина О.К., Кощеева Л.В.* // Журн. неорган. химии. 2021. Т. 66, № 10. С. 1407. EDN: NETQPX
- 9. *Шарутин В.В., Шарутина О.К., Кощеева Л.В.* // Журн. общ. химии. 2021. Т. 91, № 5. С. 758. EDN: RIGRFC
- 10. Verkhovykh V.A., Kalistratova O.S., Grishina A.I. et al. // Вест. Южно-Урал. гос. ун-та. Сер. «Химия». 2015. Т. 7, № 3. С. 61. EDN: UATWDZ
- 11. *Gushchin F.V., Kalistratova O.S., Maleeva A.I. et al.* // Вест. Южно-Урал. гос. ун-та. Сер. «Химия». 2016. Т. 8, № 1. С. 51. EDN: VKFFQR
- 12. Гущин А.В., Шашкин Д.В., Прыткова Л.К. и др. // Журн. общ. химии. 2011. Т. 81, № 3. C. 397. EDN: NUXVYN
- 13. *Шарутин В.В., Сенчурин В.С., Шарутина О.К.* // Журн. неорган. химии. 2011. Т. 56, № 10. С. 1644. EDN: OFRLJX
- 14. *Шарутин В.В., Шарутина О.К., Сенчурин В.С.* // Журн. неорган. химии. 2014. Т. 59, № 1. С. 42. EDN: RPASDB
- 15. *Шарутин В.В.*, *Шарутина О.К.* // Журн. неорган. химии. 2014. Т. 59, № 6. С. 734. EDN: SDXGKJ
- 16. *Гусаковская А.А., Калистратова О.С., Андреев П.В. и др.* // Кристаллография. 2018. Т. 63, № 2. С. 203. DOI: 10.7868/S0023476118020066
- 17. *Шарутин В.В., Шарутина О.К., Ефремов А.Н.* // Журн. неорган. химии. 2019. Т. 64, № 2. С. 159. EDN: YWYFJJ
- 18. *Duffin R.N., Blair V.L., Kedzierski L., Andrews P.C.* // Dalton Trans. 2018. V. 47. P. 971. DOI: 10.1039/C7DT04171C
- 19. *Duffin R.N., Blair V.L., Kedzierski L., Andrews P.C.* // J. Inorg. Biochem. 2018. V. 189. P. 151. DOI: 10.1016/j.jinorgbio.2018.08.015
- 20. Ong Y.C., Blair V.L., Kedzierski L., Andrews P.C. // Dalton Trans. 2014. V. 43. P. 12904. DOI: 10.1039/C4DT00957F
- 21. *Ong Y.C., Blair V.L., Kedzierski L. et al.* // Dalton Trans. 2015. V. 44. P. 18215. DOI: 10.1039/C5DT03335G
- 22. *Kumar I., Bhattacharya P., Whitmire K.H.* // Organometallics. 2014. V. 33. P. 2906. DOI: 10.1021/om500337z
- 23. *Шарутин В.В., Поддельский А.И., Шарутина О.К.* // Коорд. химия. 2021, Т. 47, № 12, С. 719. DOI: 10.31857/S0132344X21120021
- 24. *Шарутин В.В., Шарутина О.К., Ефремов А.Н.* // Коорд. химия. 2021. Т. 47, № 9. С. 568. DOI: 10.31857/S0132344X21070057
- 25. Кочешков К.А., Сколдинов А.П., Землянский Н.Н. Методы элементоорганической химии. Сурьма, висмут. М.: Наука, 1976. 483 с.
- 26. Bruker. SMART and SAINT-Plus. Versions 5.0. Data Collection and Processing Software for the SMART System. Bruker AXS Inc., Madison, Wisconsin, USA, 1998.
- 27. Bruker. SHELXTL/PC. Versions 5.10. An Integrated System for Solving, Refining and Displaying Crystal Structures from Diffraction Data. Bruker AXS Inc., Madison, Wisconsin, USA, 1998.
- 28. Dolomanov O.V., Bourhis L.J., Gildea R.J. et al. // J. Appl. Cryst. 2009. V. 42. P. 339. DOI: 10.1107/S0021889808042726
- 29. *Dahlmann J., Winsel K. J. //* J. Prakt. Chem. 1979. V. 321, N. 3. P. 370. DOI: https://doi.org/10.1002/prac.19793210304

- 30. Goel R.G., Prassad H.S. // Can. J. Chem. 1970. V. 48. N. 16. P. 2488. DOI: 10.1139/v70-421
- 31. *Goel R.G., Prassad H.S.* // J. Organomet. Chem. 1972. V. 36, N. 2. P. 323. DOI: 10.1016/S0022-328X(00)80680-4
- 32. *Goel R.G.*, *Prassad H.S.* // J. Organomet. Chem. 1973. V. 50, N. 1. P. 129. DOI: 10.1016/S0022-328X(00)95098-8
- 33. Додонов В.А., Гущин А.В., Ежова М.Б. // Журн. общ. химии. 1988. Т. 58, № 9. С. 2170. EDN: ZUIARC

**Шарутин Владимир Викторович** – доктор химических наук, профессор, главный научный сотрудник управления научной и инновационной деятельности, Южно-Уральский государственный университет, Челябинск, Россия. E-mail: sharutin50@mail.ru

**Сенчурин Владислав Станиславович** – доктор химических наук, доцент, профессор кафедры теоретической и прикладной химии, Южно-Уральский государственный университет, Челябинск, Россия. E-mail: senchurinvs@susu.ru

Cmamья поступила в редакцию 21 октября 2024 г. The article was submitted 21 October 2024.